

توسعه پوشش‌های نانوکریستال با تبلور فاز آمورف توسط فرآیندهای پاشش حرارتی

بهروز موحدی

گروه مهندسی نانوفناوری، دانشکده علوم و فناوری‌های نوین، دانشگاه اصفهان

مهدي صالحی و محمد حسين عنایتی

دانشکده مهندسی مواد، دانشگاه صنعتی اصفهان

(دریافت: ۸۹/۱۲/۱۵ - پذیرش: ۹۰/۲/۲۸)

چکیده

در این مقاله پوشش‌های پاشش حرارتی نانوکریستال با تبلور کنترل شده فاز آمورف بر پایه آهن توسعه یافته‌اند. بر این اساس ابتدا پودر آلیاژی آهن با ساختار آمورف و با ترکیب Fe-Cr-Mo-B-P-C-Si در حالت جامد توسط فرآیند آلیاژسازی مکانیکی ساخته شد. پس از بهینه سازی پودر ساخته شده از لحاظ مورفوولوژی و توزیع اندازه ذرات، با کمک فرآیند پاشش شعله‌ای با سرعت بالا (HVOF) بر زیرلایه‌های فولاد ساده کربنی، پوشش‌هایی اعمال گردید. تغییر و تحولات ساختاری پوشش‌ها در اثر تبلور و مشخصه‌های فاز آمورف و نانوکریستال، توسط میکروسکوپ الکترونی عبوری (TEM) و آنالیز فازی XRD مورد ارزیابی قرار گرفت. نتایج نشان داد با کنترل دقیق پارامترهای فرآیند HVOF و نحوه سرد شدن پوشش، می‌توان فاز آمورف را به صورت کنترل شده متبلاور نمود و ساختارهای متنوعی شامل آمورف کامل تا نانوکریستال کامل با اندازه دانه حدود ۱۰-۲۰ نانومتر بدست آورد که به تبع آن خواص مکانیکی و سایشی بهبود یافته‌ای خواهند داشت.

واژه‌های کلیدی: نانوکریستال، آمورف؛ تبلور، پاشش حرارتی HVOF

Development of thermal spray nanocrystalline coatings by devitrification of amorphous phase

B. Movahedi

Department of Nanotechnology Engineering, Faculty of Advanced Sciences and Technologies,
University of Isfahan

M. Salehi and M. H. Enayati

Department of Materials Engineering, Isfahan University of Technology
(Received 5 March 2011, accepted 18 May 2011)

Abstract

In this paper thermal spray nanocrystalline coatings were developed by devitrification of Fe-based amorphous phase. In this approach a new composition of Fe-Cr-Mo-P-B-C-Si amorphous powder was produced in solid state by mechanical alloying of elemental powder mixture. After optimizing the powder morphologies as well as the size distributions, some coatings were produced by high velocity oxy fuel (HVOF) on carbon steel substrates. The phase transformations of coatings during devitrification were investigated by x-ray diffractometry (XRD), and transmission electron microscopy (TEM). It was found that by carefully controlling the HVOF parameters and the rate of cooling, the amorphous phase could be crystallized in the controlled manner and the microstructures with fully amorphous and nanocrystalline phases in the range of 10-20 nm were obtained. Therefore, these coatings will have the modified mechanical and tribological properties.

Keywords: Nanocrystalline, Amorphous, Devitrification, HVOF.

b.movahedi@ast.ui.ac.ir E-mail of corresponding author:

مقدمه

یکی از کاربردی‌ترین روش‌های تولید آلیاژهای نانو ساختار، تبلور آلیاژهای آمورف است. آلیاژهای آمورف از نظر ترمودینامیکی شبه پایدار هستند؛ از این رو در صورت افزایش دما ساختار آمورف به حالت کریستالی تبدیل می‌شود تا انرژی آزاد آن کاهش یابد. با کنترل مرحله تبلور به نحوی که حداکثر نرخ جوانه زنی و حداقل نرخ رشد بدست آید، می‌توان به ساختارهای نانومتری دست یافت. همچنین با کنترل مرحله تبلور می‌توان آلیاژ آمورف را بطور جزئی کریستاله کرد و ساختار کامپوزیتی متشكل از فازهای نانو کریستال در زمینه آمورف، بوجود آورد [۱۱].

در این مقاله با استفاده از پودر آمورف ساخته شده توسط فرآیند آلیاژسازی مکانیکی، پوشش‌هایی بر زیرلایه‌های فولاد ساده کربنی توسط فرآیند نوین پاشش حرارتی HVOF تحت شرایط مختلف اعمال شد تا ساختاری متشكل از درصدهای مختلف فازهای آمورف و نانوکریستال حاصل گردد. سپس ساختار و خواص پوشش‌ها با آزمون‌های آنالیز فازی و بررسی‌های میکروسکوپ الکترونی عبوری (TEM) مطالعه شدند.

مواد و روش تحقیق

پودر آمورف بر پایه آهن با ترکیب Fe-18Cr-5Mo-5P-1.5C-1.5Si-3B (درصد وزنی) توسط فرآیند آلیاژسازی مکانیکی مطابق فرآیندی که جزییات آن در مقاله‌های قبلی [۱۲] و [۱۳] ارایه شده است، ساخته شد. سپس این پودر توسط فرآیند غربال کردن با الکهایی با مشاهی ۴۰۰-۲۳۰ دانه بندی شد به طوری که جهت استفاده در فرآیندهای پاشش حرارتی مناسب گردید. اندازه و توزیع ذرات پودر توسط دستگاه تفرقی لیزر^۱ مدل FRITSCH بdest آمد. فرآیند پوشش‌دهی (Metallisation JET II) HVOF با باتفنگ Met JET II با پارامترهایی که در جدول ۱ آورده شده است، انجام شد. از فولاد ساده کربنی (CK45) با ابعاد ۵۰×۵۰×۴ میلی‌متری به عنوان زیرلایه استفاده شد. قبل از عملیات پوشش‌دهی به منظور زدودن

یکی از روش‌های بهبود کیفیت سطوح استفاده از پوشش‌هایی با خواص مطلوب است که در این راستا کاربرد پوشش‌هایی با ساختار آمورف، نانوکریستال و پوشش‌هایی با ساختار دوگانه آمورف/نانوکریستال در چند سال اخیر مورد توجه واقع شده است. این پوشش‌ها با جمع خواص منحصر بفردی نظیر استحکام تسلیم بالا، سختی بالا، مقاومت سایشی عالی و تافنس مطلوب، شرایط مناسبی را در راستای بهبود کیفیت سطوح فراهم می‌کنند. یک ماده جامد که ساختمان اتمی آن مشابه مذاب (غیرکریستالی) باشد را آمورف می‌گویند. برخلاف کریستال‌ها در مواد آمورف نظم اتمی محدود به فواصل کوتاه است و به همین دلیل خواص مواد آمورف از خواص مواد کریستالی متمایز می‌شود. نکته قابل توجه در مورد مواد آمورف این است که به دلیل عدم وجود سیستم‌های لغزشی در این مواد، رفتار پلاستیکی آنها کاملاً با مواد کریستالی، متفاوت است که این تفاوت بر خواص تریبوولوژیکی آنها تاثیر بسزایی دارد [۵-۱].

یکی از دغدغه‌هایی که امروزه مهندسین سطح در زمینه پوشش‌های پاشش حرارتی با آن درگیر هستند، چگونگی کنترل ریز ساختار این پوشش‌ها به منظور دستیابی به پوشش‌هایی با خواص شیمیایی (مقاومت به خوردگی در محیط‌های خورنده)، خواص فیزیکی (پایداری حرارتی) و خواص مکانیکی مطلوب نظیر سختی، استحکام چسبندگی، تافنس و مهم تر از همه مقاومت سایشی است. از آنجایی که این نوع پوشش‌ها از طریق ذوب ماده پوششی در شعله و پاشش آن بر سطح قطعه با سرعت بالایی شکل می‌گیرند، لذا ریز ساختار بهم ریخته‌ای تشکیل می‌شود که کنترل آن در دستیابی به خواص موردنظر کار دشواری است. در بین روش‌های نوین پوشش دهی سطح، روش‌های پاشش حرارتی نظیر پاشش پلاسمایی و HVOF به دلیل ایجاد پوشش‌هایی با کیفیت برتر و نیز امکان کنترل دقیق پارامترهای پوشش دهی، بیشتر برای ساخت پوشش‌های آمورف/نانو ساختار مورد توجه قرار گرفته‌اند [۱ و ۱۰-۶].

^۱Laser Scattering

جدول ۱. پارامترهای پاشش حرارتی HVOF بر حسب نوع ریزساختار.

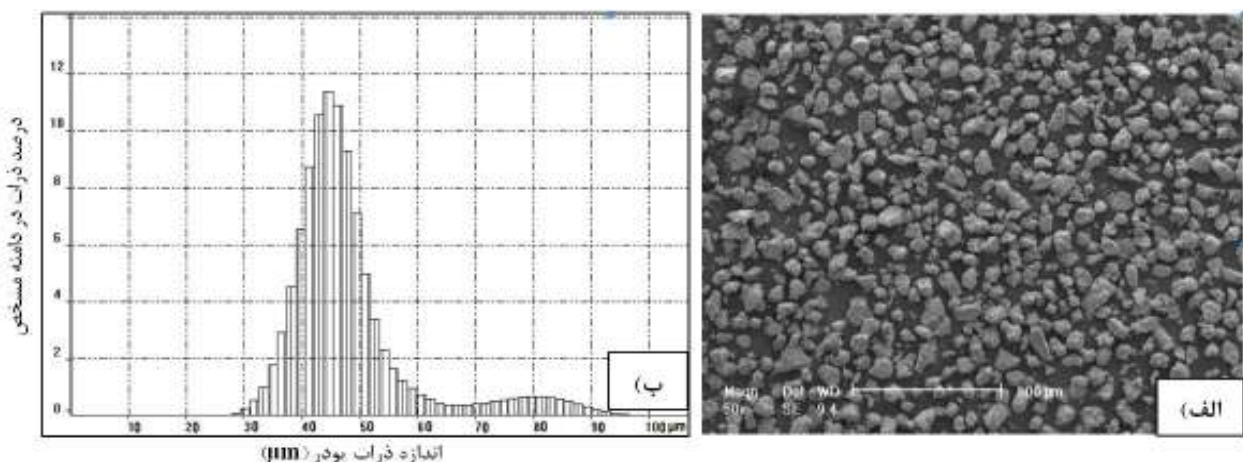
پارامترهای پوشش‌دهی	نمونه بر حسب ریزساختار		
	پوشش آمورف (H_1)	پوشش نانوکریستال (H_2)	پوشش نانوکریستال (H_3)
Oxygen gas flow rate (SLPM)	۸۳۳	۶۸۲	۵۶۰
Fuel (Kerosene) flow rate (SLPM)	۰/۳۷	۰/۲۱	۰/۱۴
Fuel/Oxygen (Vol%)	۰/۰۴۴	۰/۰۳۱	۰/۰۲۵
Powder feed rate (g min^{-1})	۳۵	۳۵	۳۵
Spray distance (mm)	۳۰۰	۳۰۰	۳۰۰
Scanning velocity (mm s^{-1})	۵۰	۵۰	۵۰
Deposit thickness (μm)	۳۰۰	۳۰۰	۳۰۰
Nozzle length (mm)	۱۰۰	۱۰۰	۱۰۰
Compress Ar cooling	yes	yes	yes

نتایج و بحث

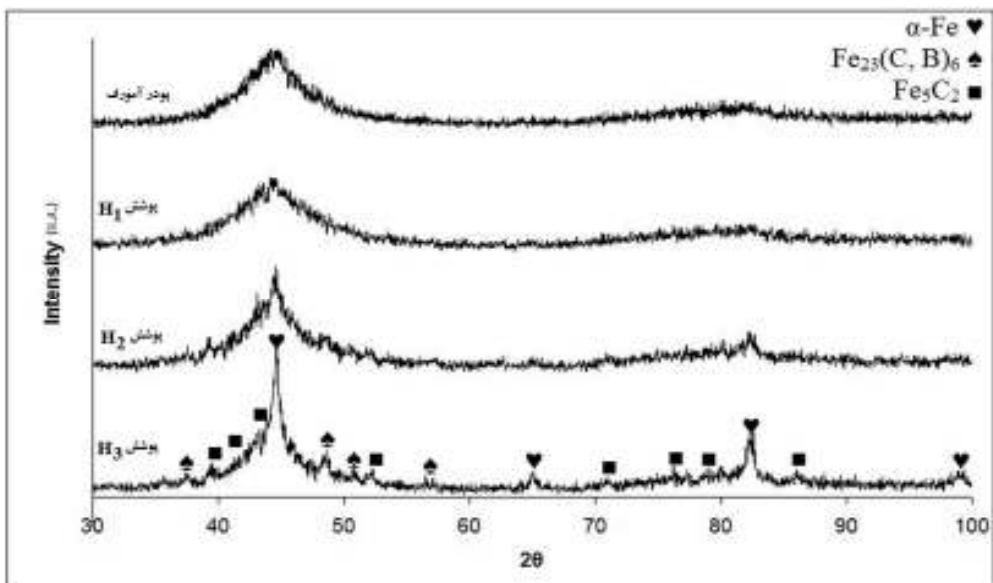
شکل ۱-الف) تصویر SEM از مورفولوژی پودر آمورف و شکل ۱-ب) نمودار توزیع اندازه ذرات آن را بعد از دانه‌بندی نشان می‌دهند. همان‌طور که مشاهده می‌شود عمدت توزیع اندازه ذرات پودر در محدوده $۴۰-۵۰ \mu\text{m}$ است که مقدار ۶۰ درصد را به خود اختصاص داده است. نکته قابل توجه باریک بودن دامنه توزیع اندازه ذرات است که منجر به یکنواختی بالای آن شده است؛ به طوری که چنین پودری در حین پاشش حرارتی بالاترین میزان سیلان را داشته و پوششی با کیفیت بالا ایجاد می‌کند.

شکل ۲ نمودارهای پراش پرتو ایکس پودر پاششی و نمونه‌های پوششی تحت سه شرایط متفاوت نسبت سوخت به اکسیژن (جدول ۱) را نشان می‌دهند. همان‌طور که مشاهده می‌شود الگوی پراش برای پودر آمورف تنها از یک پیک کاملاً پهن که مشخصه ساختارهایی با نظم کم دامنه می‌باشد، تشکیل شده است. الگوی پراش پرتو ایکس پوشش H1 نیز مشابه پودر پاششی است که نشان دهنده این است که این پوشش شاید ساختار کاملاً آمورفی داشته باشد. در پوشش H2 میزان پهن شدگی پیک آمورف کمتر شده است و در راس آن یک پیک شارپ مشاهده می‌شود که گویای تبلور جزئی فاز آمورف و تشکیل محلول جامد $\alpha\text{-Fe}$ است.

اکسیدها و چربی‌های موجود بر سطح زیرلایه‌ها، تمامی نمونه‌ها با ماسه آلومینایی با ابعاد $۵۴۰ \mu\text{m}$ ماسه پاشی شد. سپس سطح ماسه پاشی شده توسط فرآیند آتراسونیک کاملاً تمیز گردید. نمونه‌ها در نگهدارنده‌هایی که برای این کار طراحی شده بود، نصب و پس از آن جهت پوشش‌دهی در مقابل تفنگ HVOF قرار گرفت. از گاز آرگون با فشار بالا به منظور خنک کردن نمونه‌ها در حین پوشش‌دهی استفاده شد. از پراش پرتو ایکس (XRD) مدل X-Pert-MPD تحت ولتاژ ۴۰kV و جریان ۳۰ mA به منظور شناسایی تغییرات فازی و میکروسکوپ الکترونی عبوری با قدرت تفکیک بالا ۲۰۰kV (HRTEM) مدل Jeol-JEM-2010 و با ولتاژ ۲۰۰kV (HRTEM) جهت آنالیز ساختاری پوشش‌ها استفاده گردید. به منظور اندازه گیری مقدار ریز ساختی و نحوه تغییرات آن در پوشش‌ها از دستگاه ریز ساختی سنج مدل Matsuzawa MXT70 با دقیقت $\pm 5 \text{ gf}$ و تحت بار 25 gf استفاده گردید. اندازه گیری ضریب اصطکاک پوشش‌ها توسط آزمون سایش ASTM G99-95a پیش روی دیسک و بر اساس استاندارد CSEM با انجام گرفت. در این آزمون از دستگاه تریبومنتر با گلوله آلومینایی با زبری $0/۰۲$ و به قطر 6 mm تحت بار عمودی 15 N استفاده شد. سرعت لغزش 10 cm/s و مسافت 1000 m برای کلیه نمونه‌ها در نظر گرفته شد. این آزمون برای کلیه نمونه‌ها در دمای 25°C و رطوبت 30% انجام گرفت.



شکل ۱. (الف) تصویر SEM از مورفولوژی ذرات پودر آمورف بر پایه آهن (ب) نمودار درصد ذرات پودر آمورف در دامنه مشخص بعد از مرحله بهینه‌سازی.



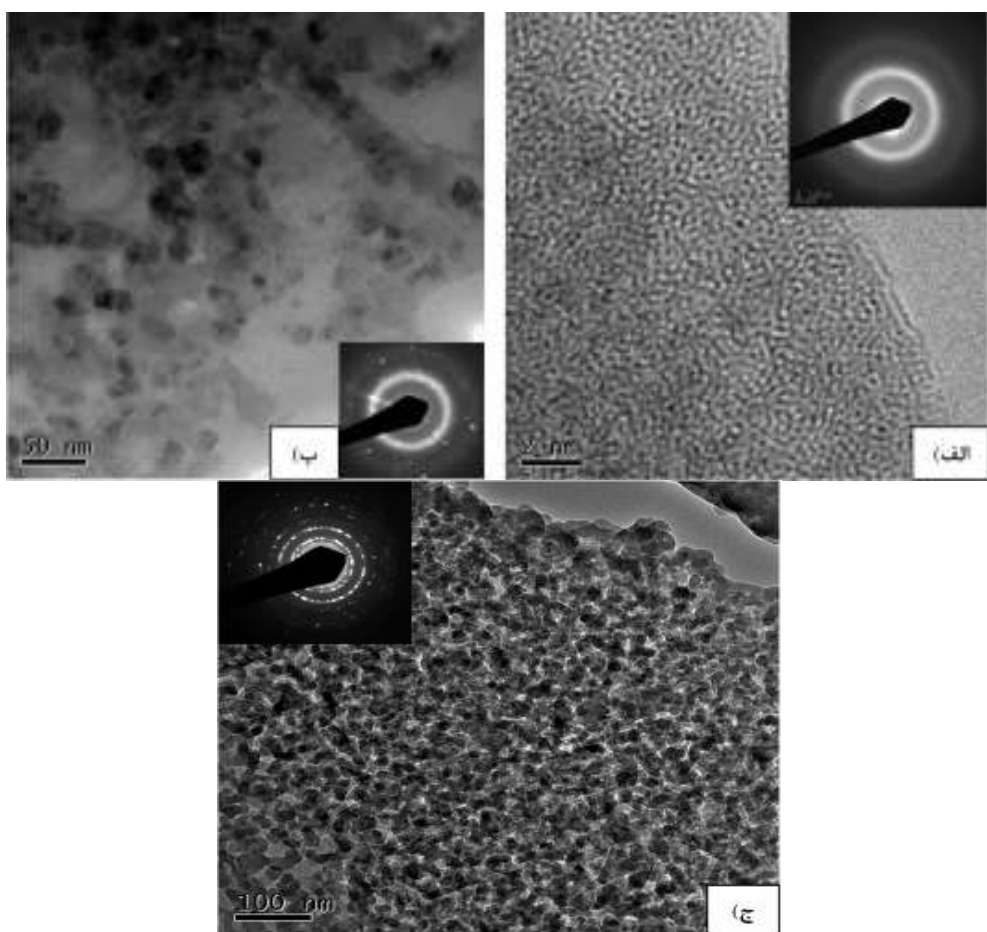
شکل ۲. نمودارهای پراش پرتو ایکس پودر آمورف بر پایه آهن و پوشش‌های HVOF

شده است. شکل ۳-الف) تصویر TEM با قدرت تفکیک بالا از پوشش H₁ را نشان می‌دهد. همان طور که ملاحظه می‌شود این تصویر گویای ساختار کاملاً آمورف است و نظم کوتاه دامنه در آن به وضوح دیده می‌شود. الگوی پراش الکترونی از ناحیه انتخابی (SADP) در ضمیمه این تصویر، تنها یک حلقه پهن را نشان می‌دهد که نماینده ساختار آمورف است.

شکل ۳-ب) مربوط به تصویر TEM از پوشش H₂ است. در این تصویر دانه‌های نانومتری با ابعاد حدود ۲۰ نانومتر در زمینه فاز آمورف مشاهده می‌شوند. این ساختار نماینده ساختار دوگانه آمورف-نانوکریستال است که در اثر تبلور

این روند در الگوی پراش پرتو ایکس پوشش H₃ بیشتر نمود پیدا می‌کند بطوری که درصد فازهای کریستالی به شدت افزایش یافته و پهن شدگی پیک آمورف اولیه نیز به کمترین میزان خود رسیده است. در این حالت مشاهده می‌شود که فازهای کریستالی کاربیدی نظیر Fe₅C₂ و Fe₂₃(C,B)₆ در اثر تبلور کامل فاز آمورف در حین فرآیند پاشش HVOF بوجود آمده است.

مطالعات دقیق‌تر از تغییر و تحولات فازی در حین تبلور فاز آمورف در فرآیند پاشش حرارتی HVOF، توسط میکروسکوپ الکترونی عبوری مطابق تصاویر شکل ۳ انجام



شکل ۳. تصاویر SADP و TEM از (الف) پوشش H_1 ب) پوشش H_2 ج) پوشش H_3 .

علت تفاوت درصد فاز آمورف و نانوکریستال در این سه نمونه پوششی را می‌توان بر اساس تغییر نسبت سوخت به اکسیژن و به تبع آن دمای ذرات پودر تفسیر نمود. رفتار ذرات پودر در حین عبور از شعله HVOF و برخورد آن با سطح زیر لایه به سه صورت اتفاق می‌افتد: (الف) ذراتی که کاملاً ذوب می‌شوند (ب) ذراتی که به صورت نیمه مذاب در می‌آیند (ج) ذراتی که به صورت جامد باقی می‌مانند. با افزایش نسبت سوخت به اکسیژن دمای ذرات پودر و همچنین میزان ذوب شدگی آنها افزایش می‌یابد در نتیجه سرعت سرد شدن ذرات پودر در حین برخورد به سطح زیر لایه نیز بیشتر می‌شود. با توجه به اینکه پودر حاصل با ترکیب Fe-Cr-Mo-B-P-C-Si قابلیت آمورف شدن بالایی دارد [۱۲ و ۱۳] در اثر سریع سرد شدن از حالت مذاب دوباره به فاز آمورف تبدیل می‌گردد. این شرایط در پوشش H_1 که بالاترین میزان نسبت سوخت به

جزیی فاز آمورف در حین پوشش دهی بوجود آمده است. الگوی SADP از این پوشش، در کنار حلقه پهن که معرف ساختار آمورف زمینه است، نقاط زیاد و پراکنده‌ای را نشان می‌دهد که به وجود فاز نانوکریستالی در میان فاز آمورف اشاره دارد. شکل ۳-ج) تصویر TEM از پوشش H_3 را نشان می‌دهد. همان‌طور که دیده می‌شود در این تصویر دانه‌های هم محوری در ابعاد حدود ۱۰-۲۰ نانومتر، به طور یکنواخت سرتاسر نمونه را در برگرفته‌اند. در این تصویر فاز آمورف قابل توجهی مشاهده نمی‌شود و ساختار نانوکریستالی حاصل SADP از تبلور کامل فاز آمورف بوجود آمده است. الگوی TEM در ضمیمه تصویر نیز حلقه‌های نازک پیوسته‌ای را نشان می‌دهد که نماینده ساختار نانوکریستال است. تصاویر XRD فوق تایید کننده نتایج حاصل از نمودارهای XRD در شکل ۲ می‌باشند.

سختی می‌تواند به علت تشکیل فازهای کاربید آهن در ابعاد نانومتری و محلول جامد آهن با دانه‌های حدود ۱۰ نانومتر، در حین تبلور کامل فاز آمورف در پوشش H3 باشد. این روند تغییرات سختی در حین تبلور فاز آمورف توسط سایر محققین نیز ارایه شده است [۷ و ۱۶] هر چند بعضی از آنها سختی ساختارهای دوگانه آمورف-نانوکریستال را بیشتر از سختی پوشش‌هایی با ساختار آمورف و نانوکریسال کامل گزارش کرده‌اند [۱۷]. البته همان‌طور که اشاره شد این اختلاف می‌تواند ناشی از نحوه تجزیه فاز آمورف در اثر تبلور و نوع فازهای کریستالی بوجود آمده باشد اما با این حال همه آنها به افزایش سختی در اثر تبلور کتترل شده فاز آمورف اذعان دارند.

شکل ۴ نمودارهای ضریب اصطکاک بر حسب مسافت لغزش برای پوشش‌های H1، H2 و H3 را نشان می‌دهد. همان‌طور که انتظار می‌رود پوشش H1 با ساختار آمورف کامل کمترین میزان ضریب اصطکاک یعنی حدود ۰/۲ را دارد. به طوری که این مقدار با تبلور فاز آمورف و افزایش درصد فاز کریستالی بیشتر می‌شود. همان‌طور که اشاره شد، در ساختارهای آمورف به علت عدم وجود سیستم‌های لغزشی و طبیعت کارسختی، ضریب اصطکاک نسبت به ساختارهای کریستالی مقدار پایین‌تری را به خود اختصاص می‌دهد، در نتیجه انتظار می‌رود خواص سایشی بهبود یافته‌ای داشته باشد [۵].

نتیجه‌گیری

- (۱) با کتترل نسبت سوت به اکسیژن در فرآیند پاشش حرارتی HVOF می‌توان پودر پاششی با ساختار آمورف را به صورت‌های جزیی و یا کامل متبلور کرد و در نتیجه دامنه‌ای از ساختارهای آمورف تا نانوکریستال کامل ایجاد نمود.
- (۲) با تبلور فاز آمورف میزان ریزسختی پوشش افزایش می‌یابد بطوری که در پوشش با ساختار نانوکریستال کامل به بیشترین مقدار خود می‌رسد.

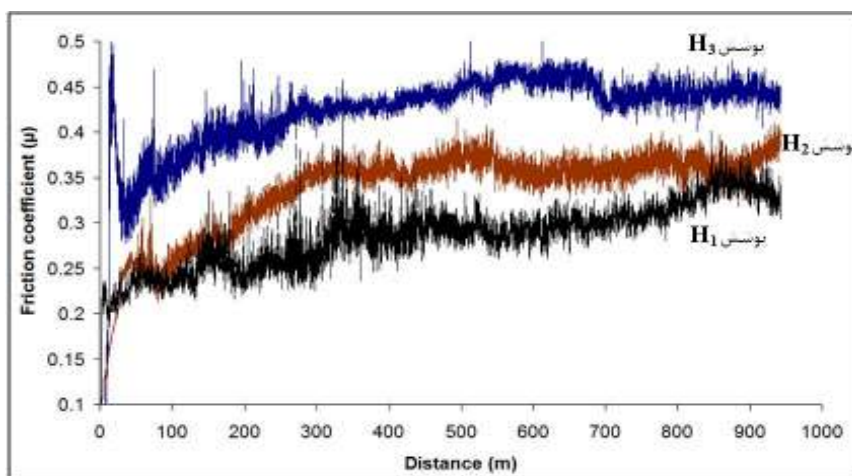
اکسیژن در آن مهیا می‌باشد، با ذوب شدن کامل ذرات و سپس سریع سرد شدن آنها، ساختار آمورف کاملی را ایجاد کرده است. در نسبت سوت به اکسیژن پایین‌تر ذرات به طور کامل ذوب نمی‌شوند از این رو نواحی ذوب نشده متبلور می‌شوند و با توجه به بالا بودن سرعت سرد شدن ذرات در حین برخورد به سطح زیرلایه، فرصت کافی برای رشد دانه‌ها نیز فراهم نمی‌شود؛ از این‌رو به دو صورت آمورف-نانوکریستال (پوشش H2) و یا نانوکریستال کامل (پوشش H3) تبدیل می‌شوند.

نتایج ریزسختی پوشش‌های H1 با ساختار کاملاً آمورف، پوشش H2 با ساختار دوگانه آمورف-نانوکریستال و پوشش H3 با ساختار نانوکریستال کامل در جدول ۲ ارایه شده است.

جدول ۲. مقادیر ریزسختی پوشش‌های HVOF بر حسب نوع

نمونه بر حسب ریز ساختار	(HV ₂₅) _{ریز سختی}	مقدار میانگین انحراف معیار
پوشش آمورف (H ₁)	۸۳۰	۳۶/۴
پوشش آمورف-نانوکریستال (H ₂)	۹۵۰	۸۵/۳
پوشش نانوکریستال (H ₃)	۱۲۳۰	۴۶/۲

همان‌طور که مشاهده می‌شود تمامی پوشش‌ها سختی بالایی در محدوده ۸۰۰-۱۲۵۰ ویکرز دارند. این مقادیر مشابه سختی گزارش شده توسط سایر محققین برای آلیاژهای آمورف پایه آهن است [۱۴] اما از پوشش‌های کروم سخت و پوشش‌های آمورف پایه نیکل بیشتر می‌باشد [۱۵]. اختلاف بین مقدارهای ریزسختی این سه نمونه پوشش وابسته به میزان فازهای آمورف و نانوکریستال است. پوشش H1 با ساختار آمورف کامل کمترین میزان سختی یعنی حدود ۸۳۰ ویکرز را در مقایسه با پوشش H2 با ساختار دوگانه آمورف-نانوکریستال (۹۵۰ ویکرز) دارد. از طرف دیگر پوشش با ساختار نانوکریستال کامل بیشترین میزان ریزسختی یعنی حدود ۱۲۳۰ ویکرز را به خود اختصاص داده است. این میزان افزایش



شکل ۴. نمودارهای ضریب اصطکاک بر حسب مسافت لغزش برای پوشش‌های HVOF

منابع

- Y. Wu, P. Lin, G. Xie, J. Hu and M. Cao, *Formation of amorphous and nanocrystalline phases in high velocity oxy-fuel thermally sprayed Fe-Cr-Si-B-Mn alloy*, Materials Science and Engineering A, 430 (2006) 34–39.
- M. Cherigui, Z. Salhi, N. E. Fenineche, P. Gougeon and C. Coddet, *FeSi HVOF thermal spray coatings: Diagnostic, microstructure, and magnetic properties*, Materials Letters, 59 (2005) 463–467.
- A. Leyland and A. Matthews, *Design criteria for wear-resistant nanostructured and glassy-metal coatings*, Surface and Coatings Technology, 177–178 (2004) 317–324.
- J. Jayaraj, D. J. Sordelet, D. H. Kim, Y. C. Kim and E. Fleury, *Corrosion behaviour of Ni-Zr-Ti-Si-Sn amorphous plasma spray coating*, Corrosion Science, 48 (2006) 950–964.
- A. L. Greer, K. L. Rutherford and I. M. Hutchings, *Wear resistance of amorphous alloys and related materials*, International Materials Review, 47 (2002) 87-112.
- C. Suryanarayana, *Mechanical alloying and milling*, Progress in Materials Science, 46 (2001) 1-184.
- K. Kishitake, H. Era and F. Otsubo, *Characterization of plasma sprayed Fe-Cr-Mo-(C, B) amorphous coatings*, Journal of Thermal Spray Technology, 5 (1996) 145-153.

(۳) کمترین میزان ضریب اصطکاک در پوشش‌های آمورف در مقایسه با پوشش‌های دوگانه آمورف/نانونکریستال و پوشش‌های نانوکریستال کامل مشاهده شده است.

تشکر و قدردانی

نویسنده‌گان این مقاله از شرکت پودر افشار واقع در اصفهان، به سبب فراهم کردن تجهیزات پیشرفتی پاشش حرارتی HVOF کمال تشکر و قدردانی را می‌نمایند.

- M. S. El-Eskandarany, W. Zhang and A. Inoue, *Mechanically induced crystalline-glassy phase transformations of mechanically alloyed TaZrAlNiCu multicomponent alloy powders*, Journal of Alloys and Compounds, 350 (2003) 222–231.
- X. Wu and Y. Hong, *Fe-based thick amorphous alloy coating by laser cladding*, Surface and Coating Technology, 141 (2001) 141-144.
- S. J. Pang, T. Zhang, K. Asami and A. Inoue, *Synthesis of Fe-Cr-Mo-C-B-P bulk metallic glasses with high corrosion resistance*, Acta Materialia, 59 (2002) 489–497.
- A. V. Sergueeva, N. A. Mara, D. J Branagan and A. K. Mukherjee, *Phase morphology effect on elevated temperature mechanical behavior of nanostructures*, Materials Letters, 61 (2007) 1465–1468.

12. B. Movahedi, M. H. Enayati and C. C. Wong, *Study on nanocrystallization and amorphization in Fe-Cr-Mo-B-P-Si-C system during mechanical alloying*, Materials Science and Engineering B, 172 (2010) 50-54.
13. B. Movahedi, M. H. Enayati and C. C. Wong, *On the crystallization behavior of amorphous Fe-Cr-Mo-B-P-Si-C powder prepared by mechanical alloying*, Materials Letters, 64 (2010) 1055–1058.
14. A. Kobayashi, S. Yano, H. Kimura and A. Inoue, *Fe-based metallic glass coatings produced by smart plasma spraying process*, Materials Science and Engineering B, 148 (2008) 110–113.
15. H. S. Ni, X. H. Liu, X. C. Chang, W. L. Hou, W. Liu and J. Q. Wang, *High performance amorphous steel coating prepared by HVOF thermal spraying*, Journal of Alloys and Compounds, 467 (2009) 163–167.
16. D. J. Branagan, M. Breitsameter, B. E. Meacham and V. Belashchenko, *High-performance nanoscale composite coatings for boiler applications*, Journal of Thermal Spray Technology, 14(2) (2005) 196-204.
17. K. Kishitake, H. Era and F. Otsubo, *Characterization of plasma sprayed Fe-17Cr-38Mo-4C amorphous coatings crystallizing at extremely high temperature*, Journal of Thermal Spray Technology, 5(3) (1996) 283-288.